

EL PROBLEMA DE LOS N-CUERPOS

Carlos Manuel Rodríguez, Román Perdomo, José Ramón Palacios

2 de diciembre de 2011

1. Resumen

En este texto se aborda el problema gravitatorio de los n-cuerpos. Este es un problema físico-matemático cuya solución analítica tardó varios siglos en llegar. El problema puede ser aproximado mediante métodos numéricos. Se implementó una simulación en *GNU Octave* & un visualizador en *Python*.

2. Objetivo

Plantear y resolver el problema de los n-cuerpos mediante 2 métodos aproximados para ecuaciones diferenciales de primer orden: Euler y Runge-Kutta.

3. Introducción

Considere el problema de describir el movimiento de un sistema de n cuerpos interactuando mediante la fuerza de gravedad de Newton. Johann Bernoulli resolvió el problema para $n = 2$ en 1710, y 2 siglos después, en 1907, Karl Sundman hizo lo propio para $n = 3$. Diferentes soluciones particulares fueron obtenidas a lo largo de la historia, de las cuales, la debida a J.L. Lagrange es una de las más memorables. En el proceso de resolver este problema, se descubrieron ideas que establecieron la ruta hacia nuevas teorías mecánicas¹. No fue sino hasta 1991, cuando Quidong Wang resolvió el problema general.

La solución general[2] es inaccesible para nuestro nivel matemático actual; y recurrimos a un método numérico para obtener información acerca de las trayectorias de los cuerpos.

4. Planteamiento del problema

La interacción entre los n cuerpos está dada por[1]:

$$m_i \frac{d^2 \mathbf{r}_i}{dt^2} = \sum_{j \neq i}^n G \frac{m_i m_j (\mathbf{r}_i - \mathbf{r}_j)}{|\mathbf{r}_i - \mathbf{r}_j|^3}$$

Que se puede convertir a un sistema de primer orden mediante un cambio de variable:

$$\frac{d^2 \mathbf{r}}{dt^2} = \frac{d\mathbf{v}}{dt}$$

El sistema a resolver:

¹Tal es el caso Heri Poincaré y la teoría del Caos.

$$\frac{d\mathbf{v}_i}{dt} = \sum_{j \neq i}^n G \frac{m_j(\mathbf{r}_i - \mathbf{r}_j)}{|\mathbf{r}_i - \mathbf{r}_j|^3} \quad (1)$$

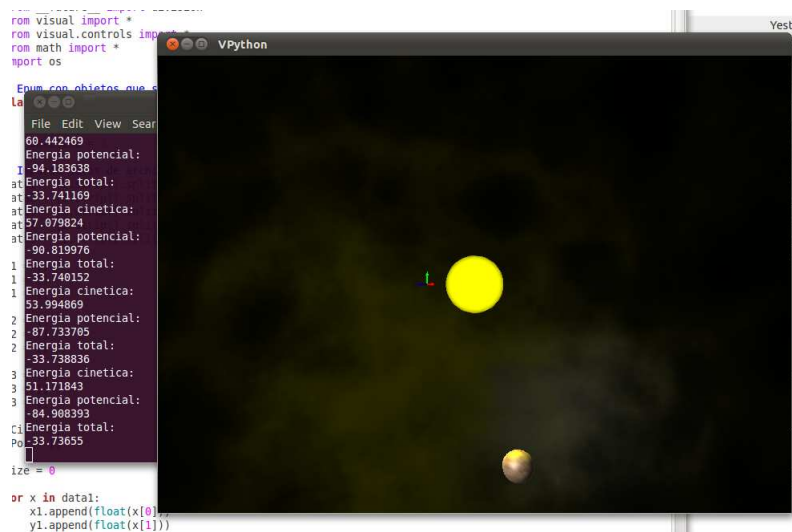
Todo lo que resta es resolver el sistema (1), es decir, obtener las velocidades de cada cuerpo al k-ésimo paso de tiempo.

5. Simulación

Se escribieron programas en *GNU Octave* para resolver el problema mediante 2 métodos numéricos: Euler y Runge-Kutta. En términos generales las simulaciones adjuntas² hacen lo siguiente:

- Ajustar condiciones iniciales (paso de tiempo, posiciones y velocidades)
- Actualizar posición de cada cuerpo utilizando su velocidad instantánea y el paso de tiempo escogido.
- Calcular la nueva velocidad resolviendo el sistema (1) mediante el método de euler/runge-kutta
- Calcular la energía potencial para la configuración
- Calcular la energía cinética total (suma de las energías cinéticas de cada cuerpo)
- Guardar a un archivo las posiciones para cada cuerpo, así como los cálculos de la energía.

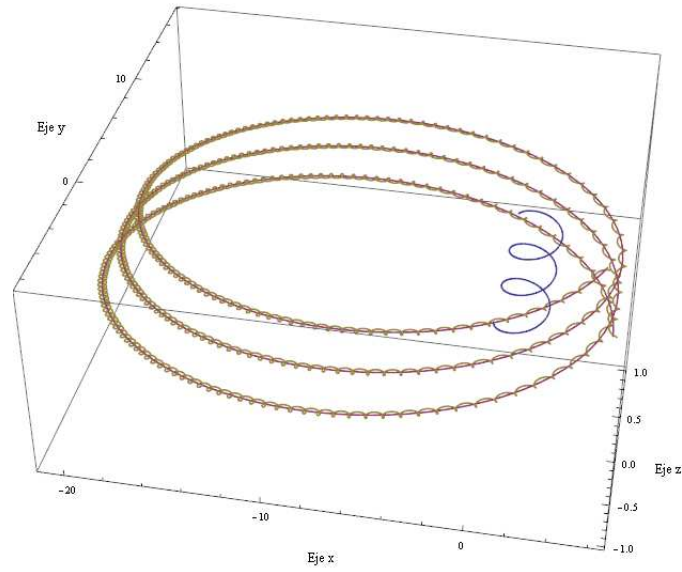
Los archivos generados (para el caso $N = 3$) son leídos por un visualizador programado en python. Las gráficas presentadas más adelante se generaron con los datos de las simulaciones y software adicional (*Mathematica*).

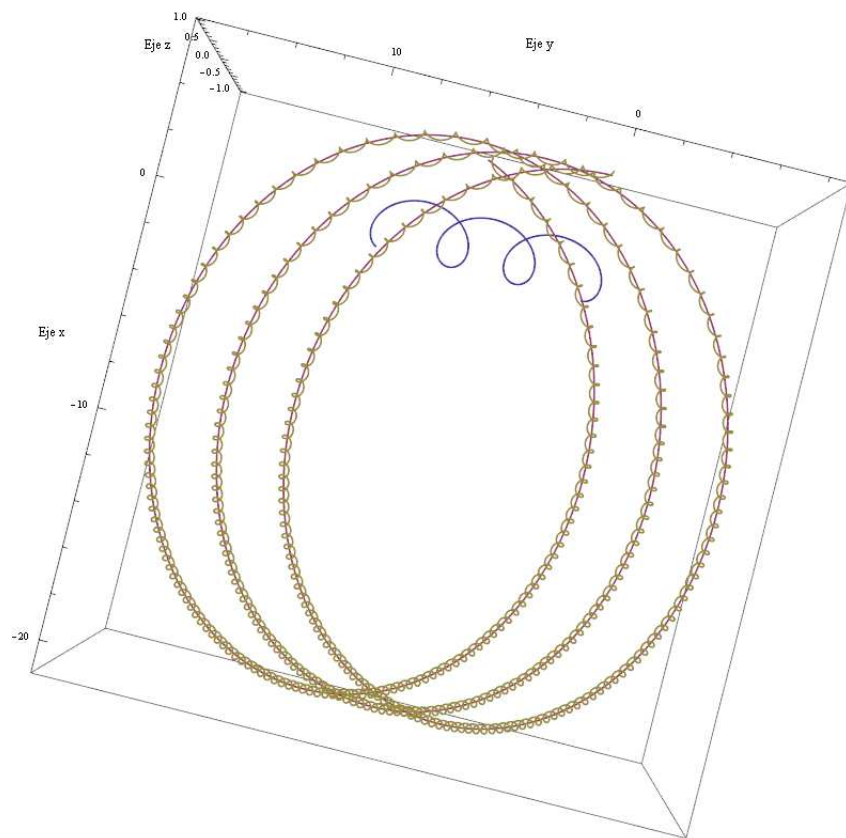


²euler.m & rungekutta.m

6. Resultados

El siguiente es un caso *estable* para un sistema similar al Sol-Tierra-Luna. La palabra *estable* se utiliza con cierta reserva, puesto que no tenemos manera de determinar si las configuración mantiene sus características para valores grandes de t .





Con condiciones iniciales:

$N = 3;$

$r(1,:) = [0 \ 0 \ 0];$
 $r(2,:) = [6 \ 0 \ 0];$
 $r(3,:) = [6.2 \ 0 \ 0];$

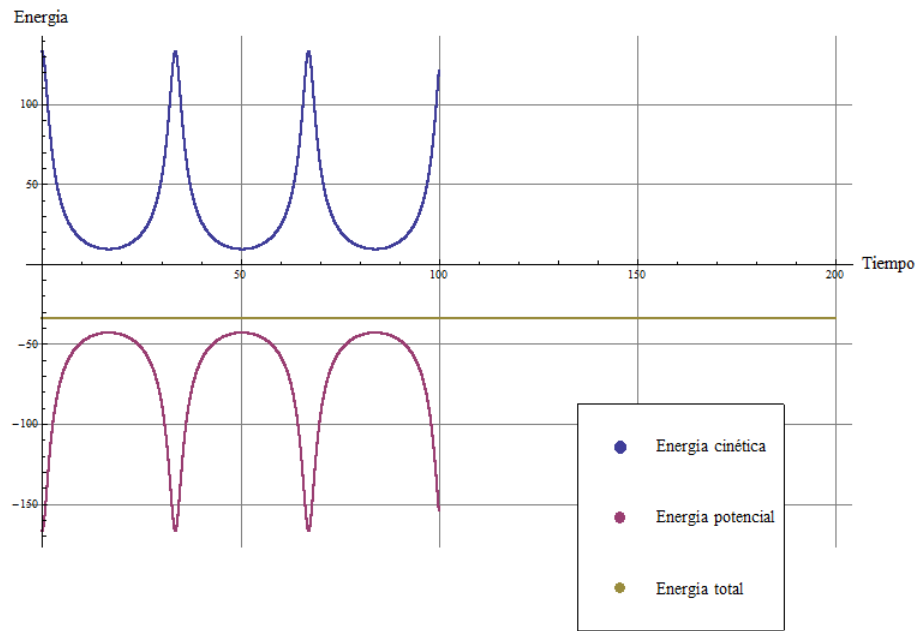
$v(1,:) = [0 \ -0.4 \ 0];$
 $v(2,:) = [0 \ 5 \ 0];$
 $v(3,:) = [0 \ 0 \ 0];$

$m(1) = 100;$
 $m(2) = 10;$
 $m(3) = 0.001;$

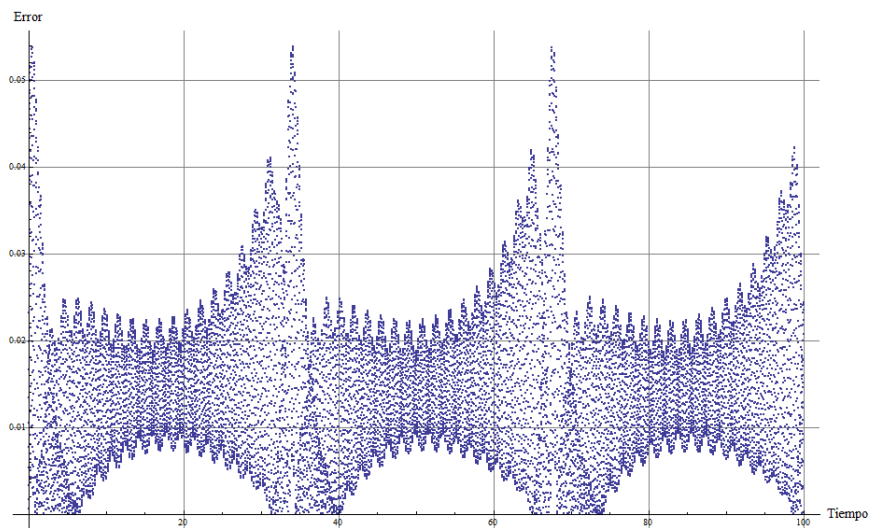
$G = 1;$
 $h = 0.001;$
 $tmin = 0;$
 $tmax = 100;$

Es difícil estimar el error en el cálculo numérico al no contar con una solución exacta. Sin embargo, monitoreando la energía total obtenemos una buena

referencia de lo confiable -físicamente- de nuestros cálculos. Únicamente consideramos las energías cinética traslacional y potencial instantáneas. Graficamos las energías y su suma para el mismo sistema de 3 cuerpos y las mismas condiciones iniciales:

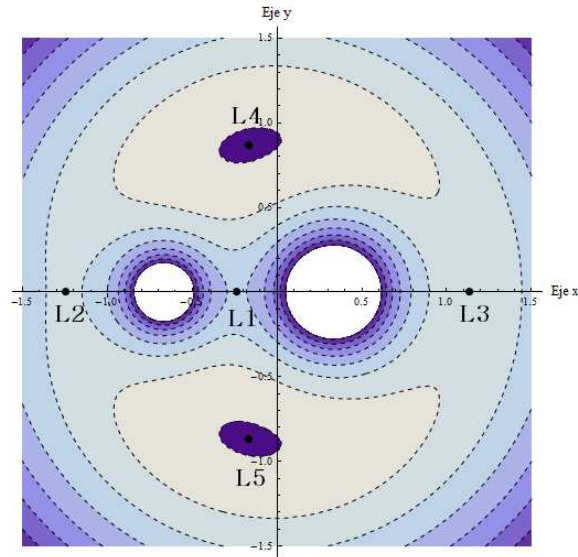


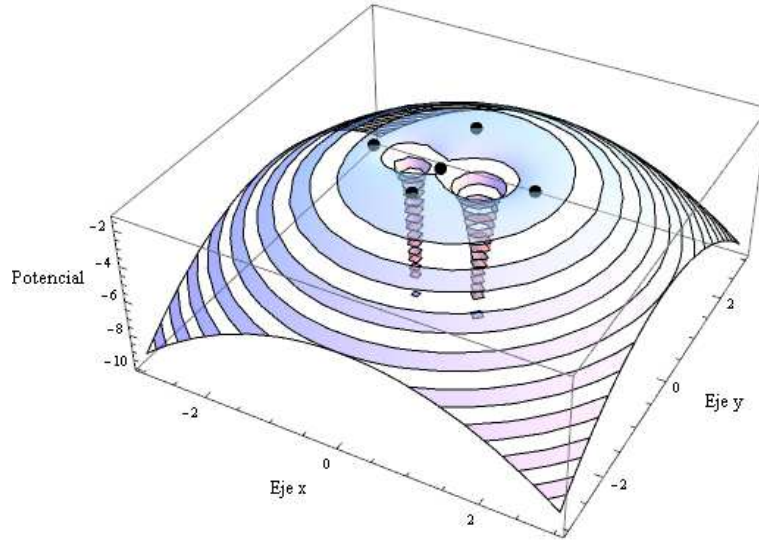
La energía total parece conservarse. Un acercamiento en el dominio revela una pequeña oscilación respecto al valor inicial (se grafica el error absoluto):



7. Los puntos de Lagrange

Existen diversas soluciones para el problema restringido de los 3 cuerpos. La debida al científico italo-francés J.L. Lagrange consiste en 2 cuerpos masivos (Sol + Tierra) y un tercero de masa despreciable (una nave llena de simios curiosos) situados en los vértices de un triangulo equilátero. El movimiento se describe desde un marco no-inercial con origen en el centro de masas del sistema. En estas condiciones, el potencial del sistema cuenta con 5 puntos críticos donde la sumatoria de fuerzas (incluyendo las 2 debidas a la rotación) da cero. Como se muestra en los siguientes digramas, 3 de los puntos están sobre la línea que une a los 2 cuerpos masivos. Los restantes 2 ocurren debido las llamadas fuerzas ficticias. En L4 y L5 la sumatoria de fuerzas de (coriolis, centrípeta y gravitatoria) suman cero:





Los mapas de contorno fueron generados con la función potencial:

$$U(x, y, a, \epsilon) = -\frac{1}{2a^2}(x^2 + y^2) + \frac{-1 + \epsilon}{\sqrt{\frac{y^2}{a^2} + (\frac{x}{a} - \epsilon)^2}} - \frac{\epsilon}{\sqrt{\frac{y^2}{a^2} + (1 + \frac{x}{a} - \epsilon)^2}}$$

Los puntos de Lagrange³ L1 & L2 son puntos silla dinámicamente inestables [3]. Sin embargo, no lo suficiente como para impedir estacionar un satélite provisto de impulsores que hagan pequeñas correcciones su velocidad periódicamente. De hecho, existen 6 observatorios astronómicos activos[4] situados en L1 & L2. Respecto a L3, también es un punto silla inestable que por su posición *privilegiada* (oculto detrás del Sol) ha aparecido en la literatura de ciencia ficción. En los puntos L4 & L5 se observan los llamados *asteroides troyanos*.

8. Extra: Sistema Solar

La siguiente simulación se realizó con condiciones similares a las de nuestro sistema solar y unidades apropiadas. Para este caso particular, resolvimos el sistema (1) utilizando el método de Runge-Kutta con los siguientes datos:

N = 9;

%Distancia: 1 = 1 AU

³Zonas de Lagrange suena apropiado, dado el comportamiento del sistema.

```

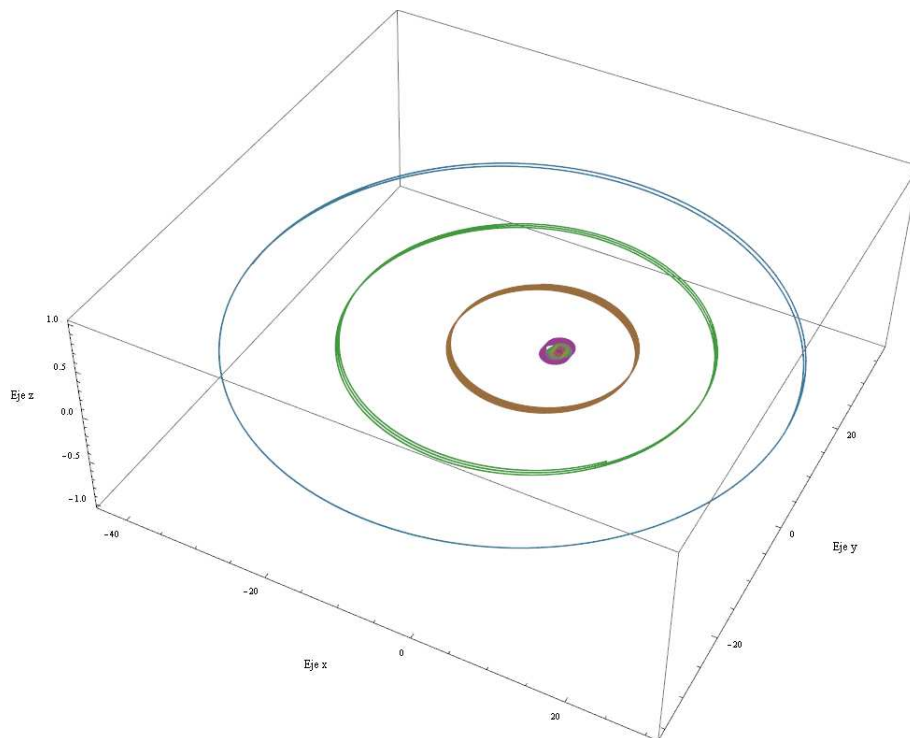
r(1,:) = [0 0 0];
r(2,:) = [0.34 0 0];
r(3,:) = [0.72 0 0];
r(4,:) = [1 0 0];
r(5,:) = [1.52 0 0];
r(6,:) = [5.2 0 0];
r(7,:) = [9.55 0 0];
r(8,:) = [19.22 0 0];
r(9,:) = [30 0 0];

% Sólo Vy > 0, para los 9 cuerpos.
v(1,:) = [0 0.001 0]; %etc...

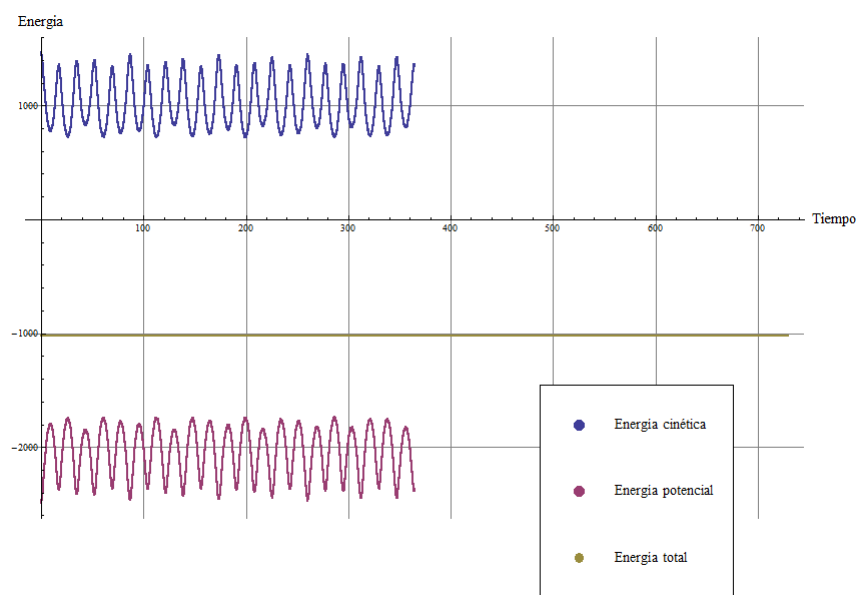
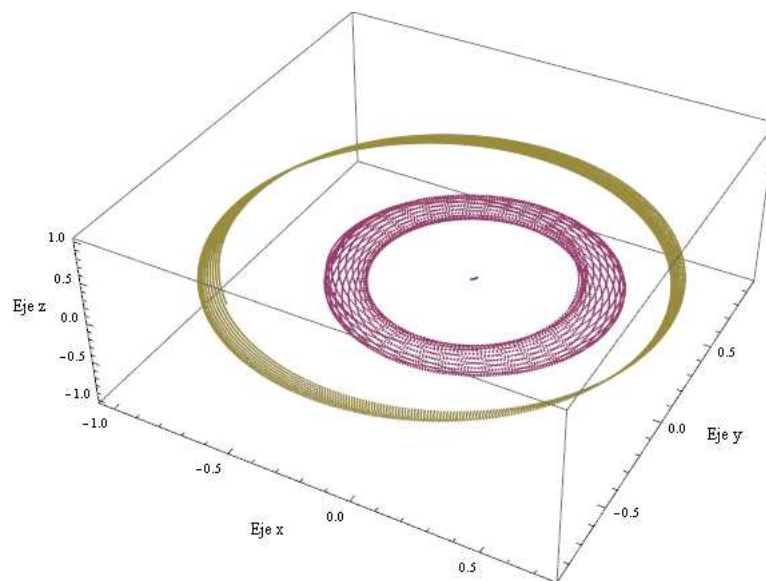
G = 1;
h = 0.00005;

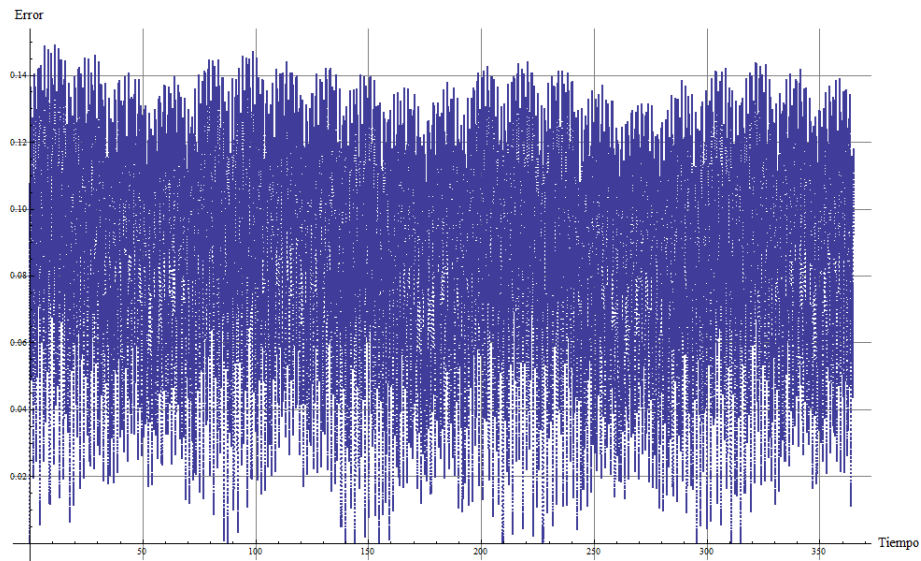
```

Para este caso, se utilizó el método de Runge-Kutta (método de segundo orden, donde el error escala como h^4). Obtuvimos un error absoluto máximo de 0.15:



Un acercamiento a los datos (para el Sol, Mercurio y Venus):





9. Referencias

- [1] Diacu, F. "The solution of the n-body Problem", The Mathematical Intelligencer, 1996, Vol. 18, No. 3, p. 66–70.
- [2] Wang, Qiudong " The global solution of the n-body problem" Celestial Mechanics and Dynamical Astronomy, vol. 50, no. 1, 1991, p. 73–88
- [3] Cornish, N. Notas: Deducción y análisis de estabilidad para puntos de Lagrange: <http://www.physics.montana.edu/faculty/cornish/lagrange.pdf>
Consultada el: 30/11/2011.
- [4] http://en.wikipedia.org/wiki/List_of_objects_at_Lagrangian_points
Consultada el: 1/12/2011